



การเตรียมความพร้อมเพื่อขอรับใบอนุญาต ประกอบวิชาชีพวิศวกรรมควบคุมระดับวุฒิวิศวกร สาขาวิศวกรรมโยธา

งานโครงสร้าง (งานออกแบบและคำนวณ)

ศาสตราจารย์ ดร.ทักษิณ เทพชาติรี
อนุกรรมการ สาขาวิศวกรรมโยธา

16 พฤศจิกายน 2566

งานออกแบบและคำนวณ (กฎกระทรวง)

การใช้หลักวิชาและความชำนาญ เพื่อให้ได้มาซึ่งรายละเอียดในการก่อสร้าง (การสร้าง,การผลิต การวางผังโรงงานและเครื่องจักร) โดยมีรายการคำนวณ แสดงเป็นรูปแบบข้อกำหนด หรือประมาณการ



งานออกแบบและคำทวน ที่เป็นผลงานดีเด่น

1. ใช้ความรู้เชิงวิชาการและเทคโนโลยี และใช้ความรู้ความชำนาญ เพื่อ
 - 1.1 ทำแบบรายละเอียดการก่อสร้าง
 - 1.2 บริหารจัดการงานออกแบบว่าด้วย รายการคำทวน รูปแบบ และข้อกำหนด
 - 1.3 แก้ไขอุปสรรคต่าง ๆ (หากมี) ในระหว่างการก่อสร้าง และการดำเนินงาน
2. เป็นผลงานที่ประสบความสำเร็จสูงลิ่วดี และมีความโดดเด่น
3. เป็นผลงานที่แสดงถึงความรู้ ความสามารถ ความชำนาญการเฉพาะทาง สามารถนำเป็นแบบอย่าง และถ่ายทอดสู่สังคมได้
4. อื่น ๆ



ตัวอย่างที่ 1

1. ข้อมูลโครงการ

1.1 โครงการก่อสร้างถังเก็บน้ำ Dia. 20 m Height 25 m

1.2 สถานที่ก่อสร้าง

1.3 มูลค่าการก่อสร้าง

1.4 ระยะเวลาดำเนินการ

1.5 อื่น ๆ





2. ตำแหน่งหน้าที่

- 2.1 ผู้ออกแบบและคำนวณระบบอัดแรงภายหลังโครงสร้างผนัง
อ่างเก็บน้ำ (ระบุเฉพาะงานที่ตนรับผิดชอบ กรณีมีผู้ร่วมงาน ให้ระบุ
รายชื่อผู้ร่วมงานด้วย)
- 2.2 ผู้ประสานงานวางแผนงานก่อสร้างระบบอัดแรง
- 2.3 ผู้ประสานงาน ดูแล และควบคุมงานก่อสร้างระบบอัดแรง



3. งานวิเคราะห์และออกแบบ

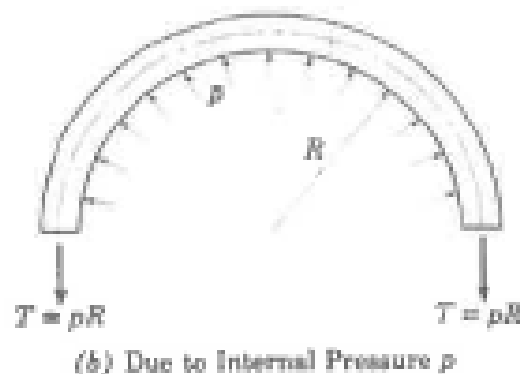
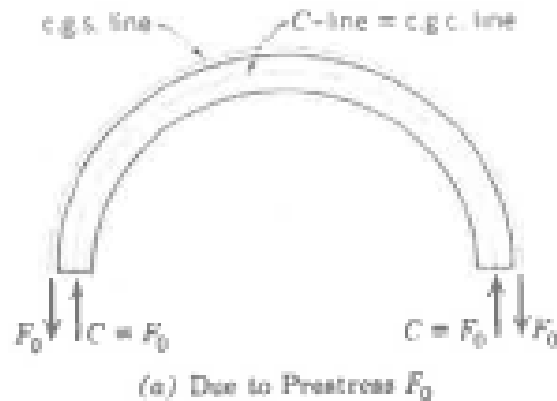
3.1 มาตรฐานอ้างอิง

- **ACI 318-02 Building Code Requirements for Structural Concrete**
- **ACI 350R-01 Environmental Engineering Concrete Structures**
- **ACI 373R-97 Design and Construction of Circular Prestressed Concrete Structures with Circumferential Tendons**



3.2 หลักการออกแบบและคำนวณ

1. ระบบอัดแรงในแนวเส้นรอบรูปของผนังช่วยต้านทานหน่วยแรงดึงที่เกิดจากแรงดันน้ำขณะใช้งาน





3.2 หลักการออกแบบ (ต่อ)

2. ระบบอัดแรงในแนวตั้ง ช่วยต้านทานหน่วยแรงดึงที่เกิดจากโมเมนต์ดัดในผนัง อันเนื่องมาจากแรงดันน้ำขณะใช้งาน และแรงกระทำด้านข้าง

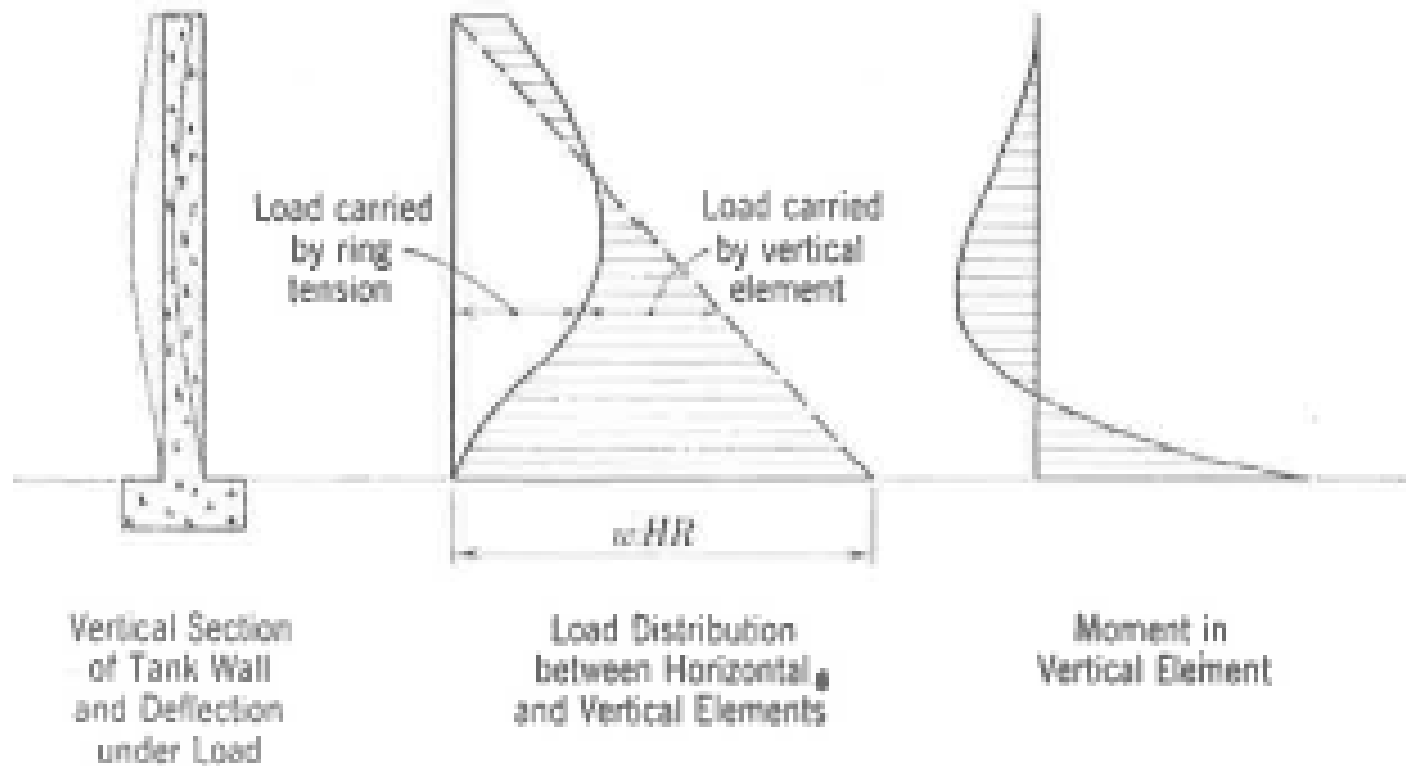


Fig. 13-4. Moment and deflection in vertical element of tank wall.



3.2 หลักการออกแบบ (ต่อ)

3. เหล็กเสริมในผนังคอนกรีต

3.1 ทำหน้าที่รับน้ำหนักของผนังขณะทำการก่อสร้าง โดย

ค้ำยันถึงขั้นตอนการก่อสร้างระบบ Slip Form

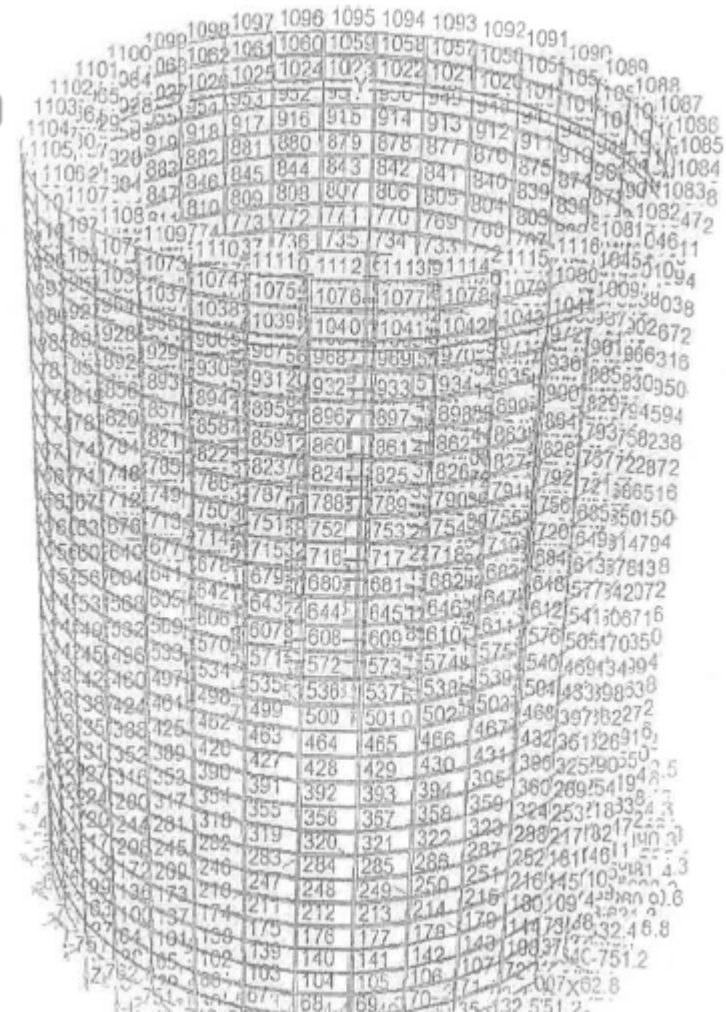
3.2 ป้องกันรอยแตกของผนัง เนื่องจากการหดตัว



3.3 วิธีการวิเคราะห์

วิเคราะห์ด้วย Finite Element Method โดยพิจารณา 2 สภาวะ

1. สภาวะใช้งาน เมื่อมีน้ำหนักเก็บเต็มถัง
2. สภาวะขณะก่อสร้าง และ/หรือ ถังเปล่า เมื่อมีแรงอัดจากระบบอัดแรงในแนวเส้นรอบรูป





3.4 นำผลการวิเคราะห์คำนวณจำนวนลวดอัดแรง

HEAD TANK Dia.20.00 m. Weight 25.00 m. ✓
 Wall thickness 0.60 m.
 Liquid Water Density 1000 kg. per cu.m.

Date 06-05-2558

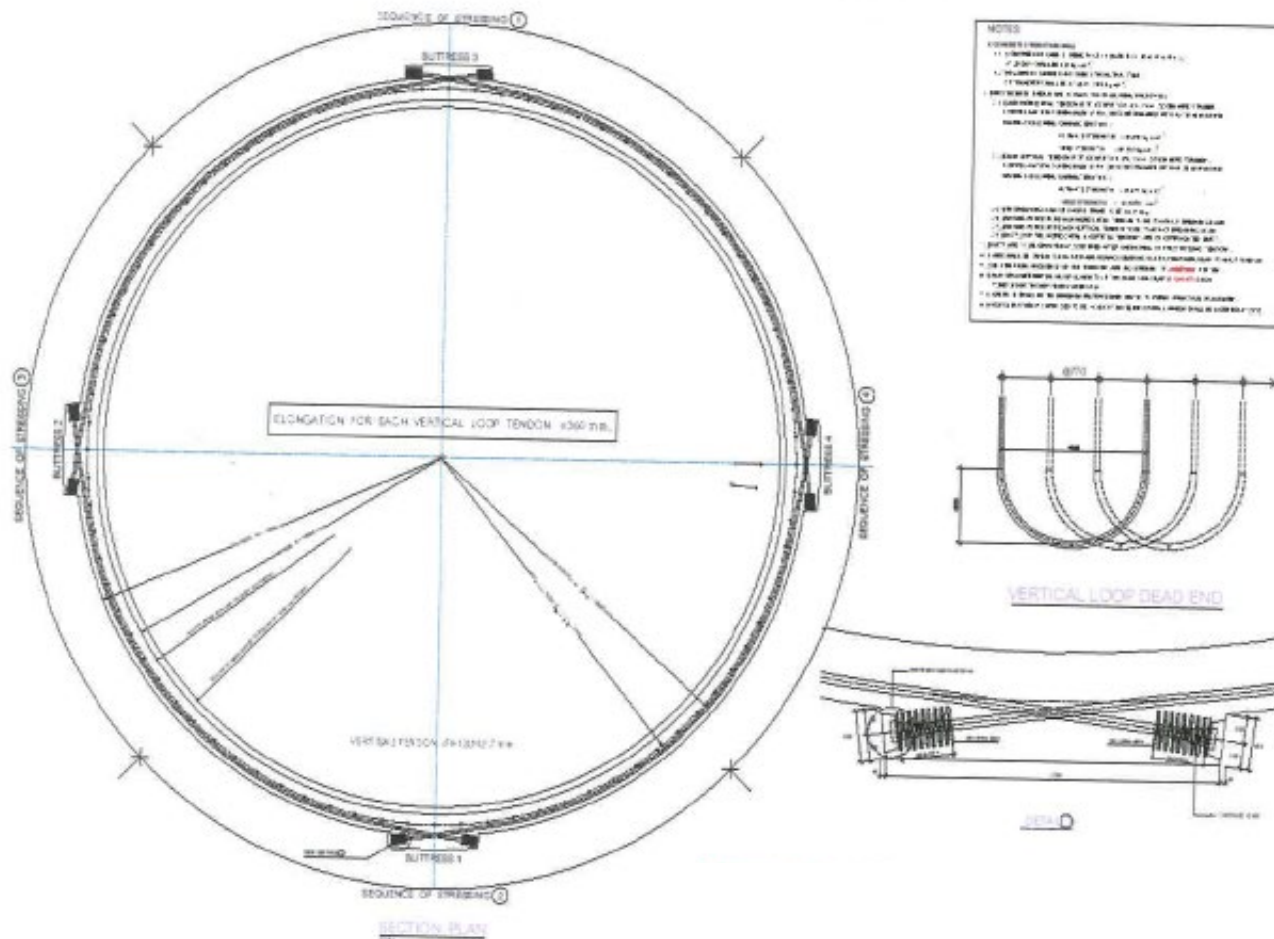
Elevation (m)	Interval (m)	Sx (ksc)	Force (ton)	Tendon (No.#.m.)	Hy.Press (kg/m2)	Tension (ton)	Sx,h (ksc)	Sx+10 (ksc)	Force+10 (ton)	Sx,h+10 (ksc)
25.000	0.000		-0.94					9.06		
24.138	0.862	0.862	-0.20	-1.03	862	7.65	1.48	9.80	50.69	11.48
23.276	1.724	0.862	0.60	3.10	1724	15.31	2.96	10.60	54.82	12.96
23.000	2.000	0.276	0.86	1.42	2000	5.69	3.43	10.86	17.98	13.43
22.414	2.586	0.586	1.53	5.38	2586	15.61	4.44	11.53	40.54	14.44
21.552	3.448	0.862	2.70	13.96	3448	30.61	5.92	12.70	65.68	15.92
20.690	4.310	0.862	4.06	21.00	4310	38.27	7.40	14.06	72.72	17.40
19.828	5.172	0.862	5.54	28.65	5172	45.92	8.88	15.54	80.37	18.88
18.966	6.034	0.862	7.08	36.62	6034	53.57	10.36	17.08	88.34	20.36
18.103	6.897	0.863	8.64	44.74	6897	61.31	11.84	18.64	96.52	21.84
17.241	7.759	0.862	10.20	52.75	7759	68.89	13.32	20.20	104.47	23.32
16.379	8.621	0.862	11.73	60.67	8621	76.54	14.80	21.73	112.39	24.80
15.517	9.483	0.862	13.26	68.58	9483	84.20	16.28	23.26	120.30	26.28
14.655	10.345	0.862	14.79	76.49	10345	91.85	17.76	24.79	128.21	27.76
13.793	11.207	0.862	16.32	84.41	11207	99.50	19.24	26.32	136.13	29.24
12.931	12.069	0.862	17.85	92.32	12069	107.16	20.72	27.85	144.04	30.72
12.069	12.931	0.862	19.38	100.23	12931	114.81	22.20	29.38	151.95	32.20
11.207	13.793	0.862	20.91	108.15	13793	122.46	23.68	30.91	159.87	33.68
10.345	14.655	0.862	22.44	116.06	14655	130.12	25.16	32.44	167.78	35.16
9.483	15.517	0.862	24.17	125.00	15517	137.77	26.64	34.17	176.73	36.64
8.621	16.379	0.862	26.01	134.52	16379	145.42	28.12	36.01	186.24	38.12
7.759	17.241	0.862	27.95	144.56	17241	153.08	29.60	37.95	196.28	39.60
6.897	18.103	0.862	29.99	155.11	18103	160.73	31.08	39.99	206.83	41.08
6.034	18.966	0.863	31.93	165.33	18966	168.59	32.56	41.93	217.11	42.56
5.172	19.828	0.862	33.35	172.49	19828	176.04	34.04	43.35	224.21	44.04
4.310	20.690	0.862	33.35	172.49	20690	183.70	35.52	43.35	224.21	45.52
3.448	21.552	0.862	31.11	160.90	21552	191.35	37.00	41.11	212.62	47.00
2.586	22.414	0.862	25.40	131.37	22414	199.00	38.48	35.40	183.09	48.48
1.724	23.276	0.862	16.01	82.80	23276	206.66	39.96	26.01	134.52	49.96
0.862	24.138	0.862	4.68	24.20	24138	214.31	41.44	14.68	75.92	51.44
0.000	25.000	0.862	-2.17	-11.22	25000	221.96	42.92	7.83	40.50	52.92





3.5 ทำรายละเอียดแบบก่อสร้าง

1. การติดตั้งลวดอัดแรงแนวเส้นรอบรูป





2. การติดตั้งลวดอัดแรงแนวตั้ง

2.1 ระบบ Onion Dead End

เป็นระบบที่ใช้กันทั่วไป มีข้อเสีย

ก. ต้องฝังลวดก่อนจำนวนมาก

ข. ต้องมีนั่งร้านค้ำยัน

ได้นำเสนอระบบ **Loop Dead End**

2.2 ระบบ Loop Dead End

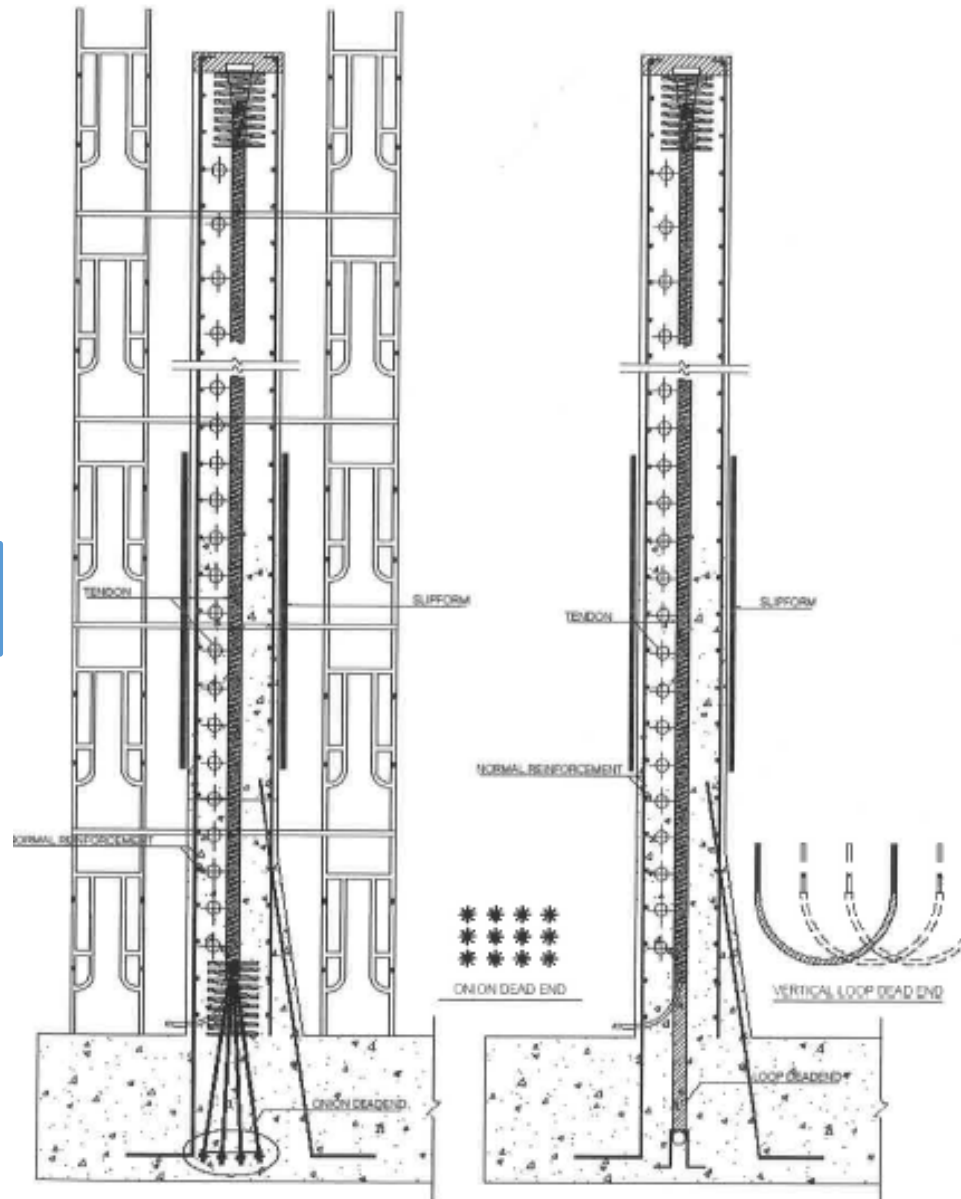
มีข้อดี

ก. ฝังเฉพาะท่อ Sheath ในฐาน

คอนกรีตก่อน

ข. ต่อท่อทีละส่วนภายหลัง

ค. เทคอนกรีตเสร็จ จึงค่อยร้อยลวด



ก. Onion Dead End

ข. Loop Dead End



4. งานติดตั้ง Loop Dead End



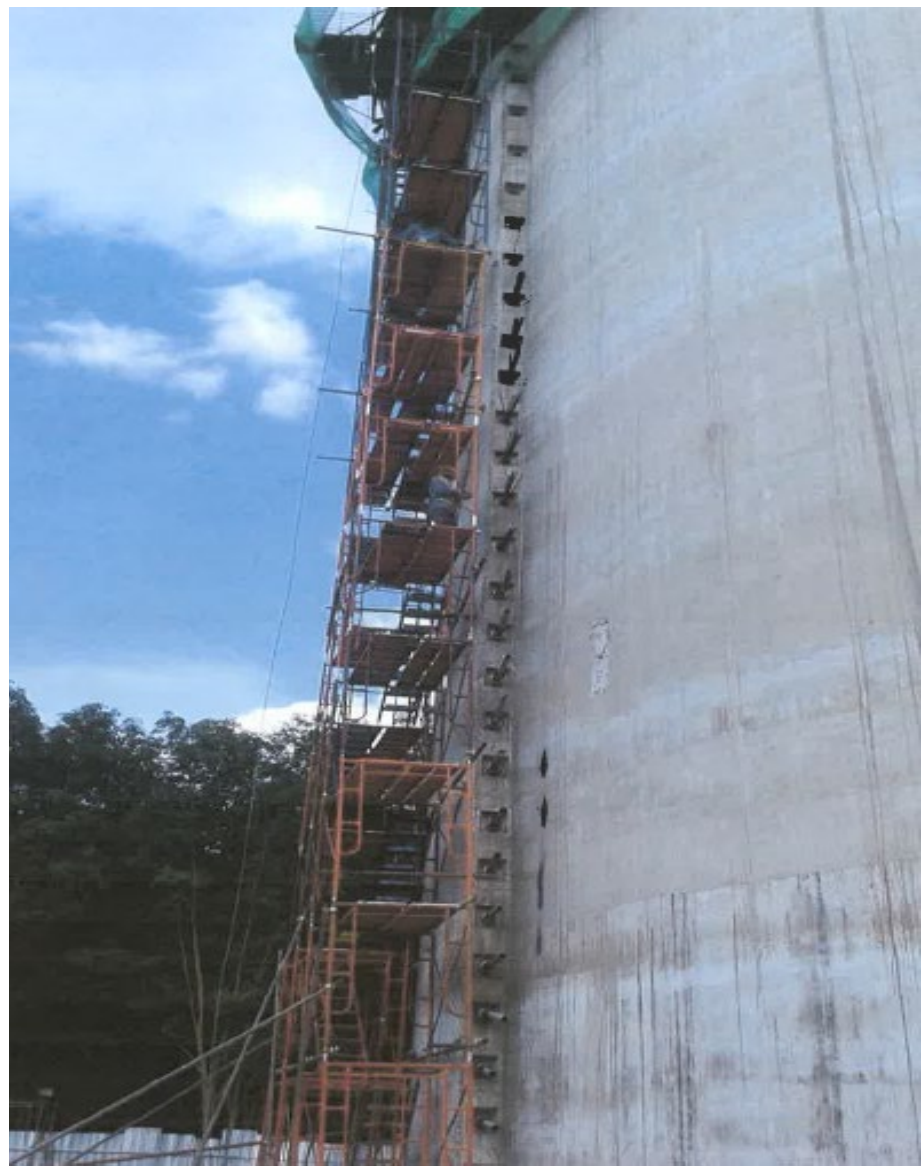
ภาพแสดงการติดตั้ง Loop Dead End ในส่วนพื้นของฐานนั่งคอนกรีต



ภาพแสดงท่อ Sheath ของลวดยึดแรงแนวตั้งกับ Loop Dead End



5. งานเทคอนกรีต และติดตั้งลวดอัดแรงแนวเส้นรอบ





โครงการก่อสร้างถังเก็บน้ำได้ก่อสร้างแล้วเสร็จ และใช้งานได้ โดยสมบูรณ์ดีจนถึงปัจจุบัน





6. ปัญหาอุปสรรค

1. การรั่วของท่อ Sheath ที่จะทำให้น้ำปูนเข้าไปอุดตัน แก้ปัญหาล่วงหน้า โดยทำการตรวจเช็คด้วยการใช้ รอกชักตรวจสอบ และแก้ไขการอุดตันอย่างต่อเนื่อง ตลอดเวลาขณะเทคอนกรีตจนจบ

2. การรื้อลวดอัดแรง

งานรื้อลวดในแนวเส้นรอบรูป อาศัยเครื่องรื้อลวด Pushing Machine ส่วนงานรื้อลวดในแนวตั้ง เลือกใช้เทคนิคการเกี่ยวด้วยตะขอนำ เพื่อนำลวดขึ้น จากท่อ Sheath ที่เป็น Loop



7. ความโดดเด่น

1. นำเสนอวิธีการออกแบบ งานวางแผนก่อสร้าง และการควบคุมงานโครงการก่อสร้างถังเก็บน้ำขนาด Dia. 20 m Height 25 m
2. โครงสร้างถังเก็บน้ำเป็นผนังคอนกรีตอัดแรงทั้งในแนวนอนและแนวตั้ง
3. งานก่อสร้างแล้วเสร็จ และใช้งานได้โดยสมบูรณ์ดีจนถึงปัจจุบัน



ตัวอย่างที่ 2

1. ข้อมูลโครงการ

1.1 โครงการ ปรับปรุงและเสริมกำลังอาคารคอนกรีตเสริมเหล็ก

4 ชั้น

1.2 สถานที่ก่อสร้าง

1.3 มูลค่าการก่อสร้าง

1.4 ระยะเวลาดำเนินการ

1.5 อื่น ๆ





2. ตำแหน่งหน้าที่

2.1 ออกแบบงานปรับปรุง และเสริมกำลังพื้นอาคารด้วย CFRP

2.2 สำรวจพื้นที่ วางแผนงานหรืออาคารบางส่วน

2.3 ประสานงาน ดูแลการเสริมกำลังพื้นด้วย CFRP

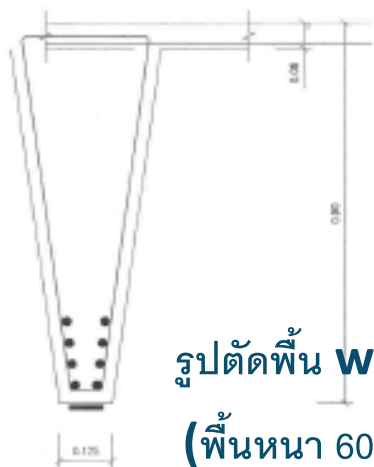


3. สำรองพื้นอาคารเดิม และส่วนที่จะทำการรื้อถอน

ลักษณะอาคารเดิม

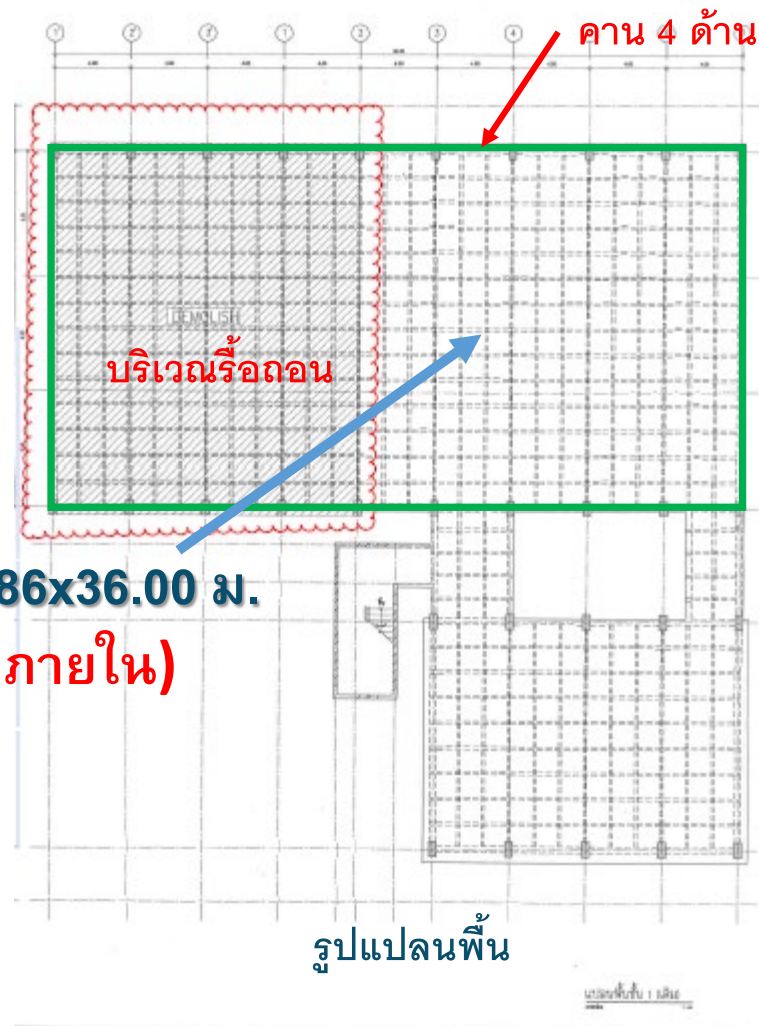
- อาคารคอนกรีตเสริมเหล็กสูง 4 ชั้น
- ช่วงห่างเสาในแนวนอน 4 ม.
- ช่วงห่างเสาในแนวตั้ง 6 ม. และ 6.66 ม.
- พื้นเดิมเป็นระบบ waffle slab ขนาด 18.86x36.00 ม.

(ไม่มีเสาภายใน)



รูปตัดพื้น waffle slab

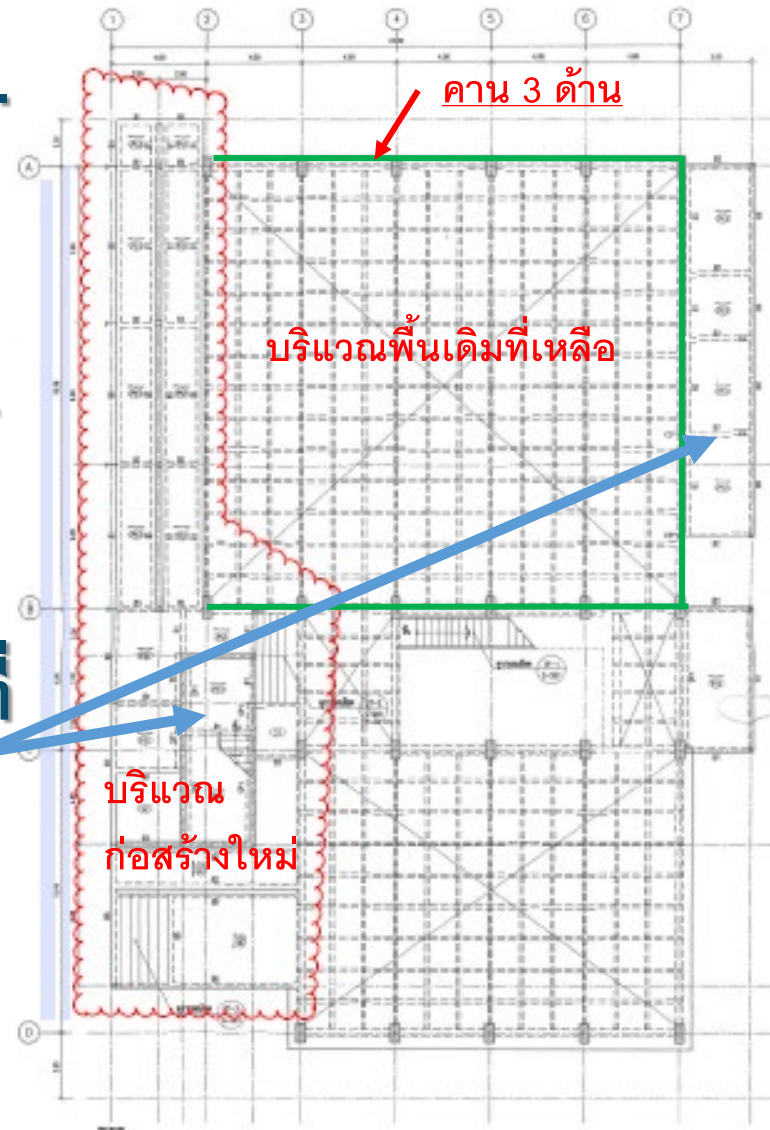
(พื้นหนา 60 มม. ตงลึก 900 มม).





4. ปัญหาทางรื้อถอนและงานออกแบบ

- ก่อนรื้อ พื้นขนาด 18.86x36.00 ม.
มีคานารองรับ 4 ด้าน
- หลังรื้อ พื้นขนาด 18.86x20.00 ม.
และมีคานารองรับ 3 ด้าน
- มีการก่อสร้างอาคารใหม่บนพื้นที่
รื้อถอน





5. งานวิเคราะห์และออกแบบการเสริมกำลังด้วย CFR

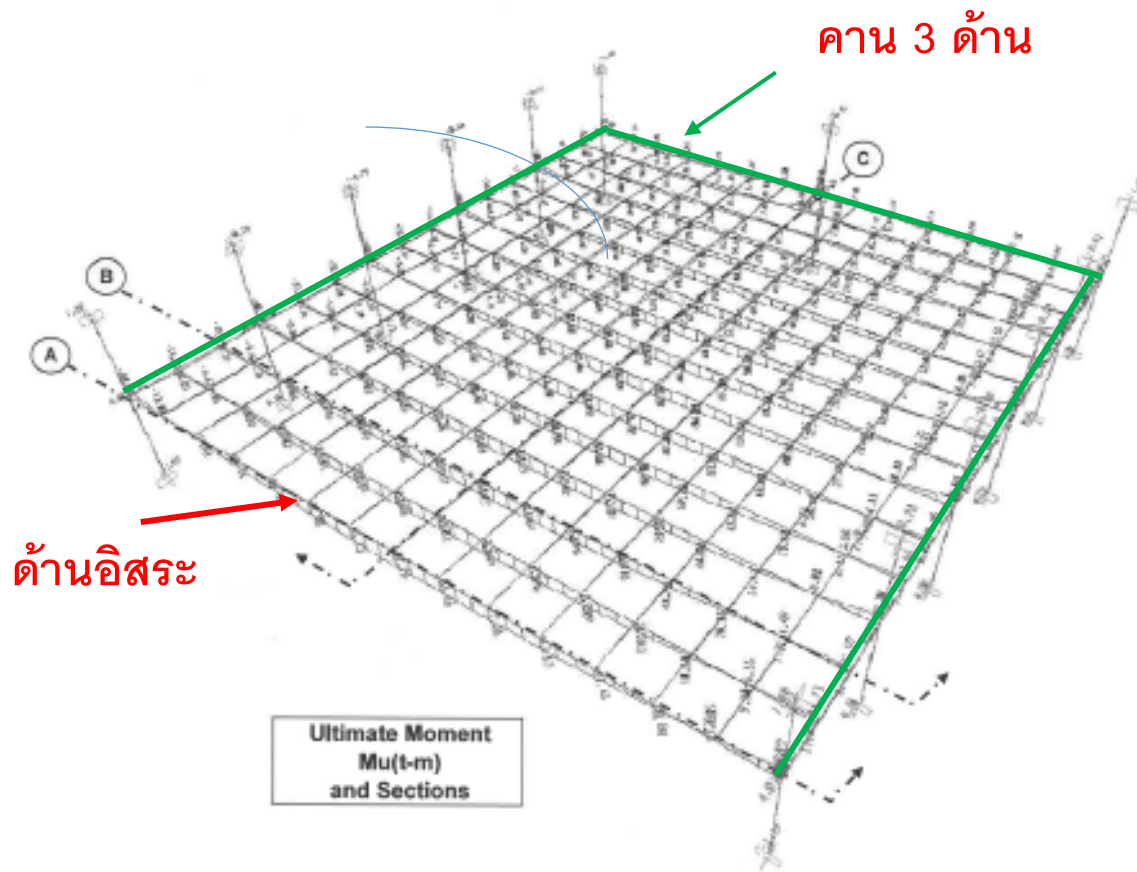
5.1 มาตรฐานอ้างอิง

- **ACI 318-02 Building Code Requirements for Structural Concrete**
- **ACI 440.2R Guide for the Design and Construction of Externally Bonded FRP Systems for Strengthening Concrete Structures**
- **ACI 440.8 Specification for Carbon and Glass Fiber-Reinforced Polymer(FRP) Materials Made by Wet Layup for External Strengthening of Concrete and Masonry Structures**



5.2 การวิเคราะห์พื้นมีคานรองรับ 3 ด้าน

5.2.1 วิเคราะห์ด้วย Finite Element Method



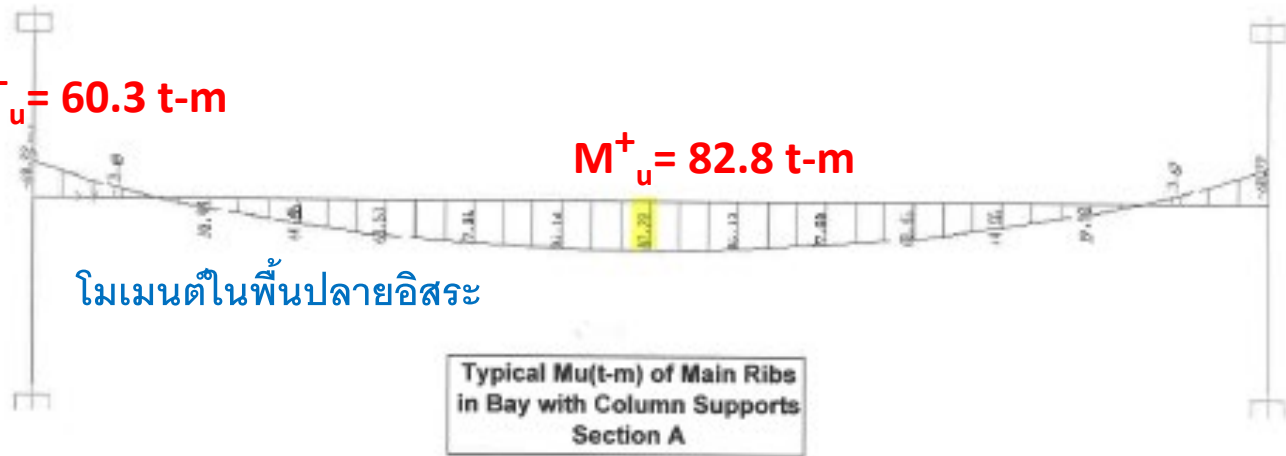


5.2.2 โมเมนต์ในพื้นที่หลังการรื้อถอน ภายใต้ $1.4D+1.7L$

$$M_u^- = 60.3 \text{ t-m}$$

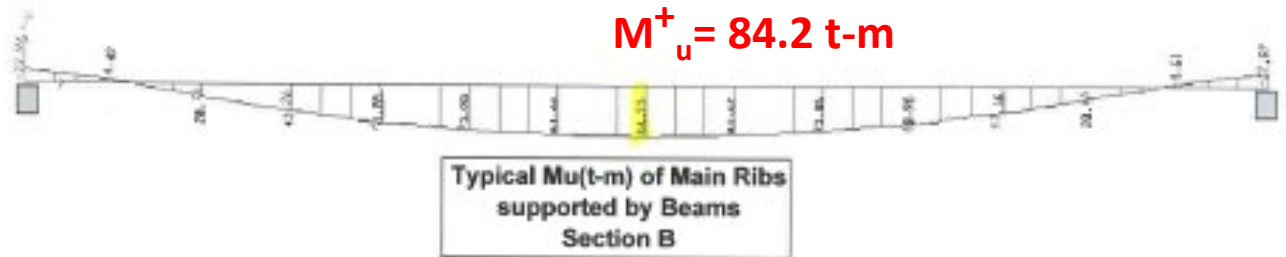
$$M_u^+ = 82.8 \text{ t-m}$$

โมเมนต์ในพื้นที่ปลายอิสระ



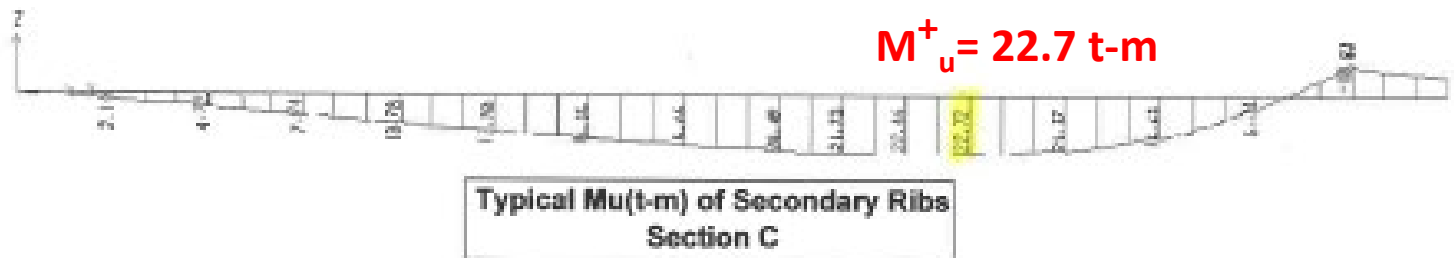
$$M_u^+ = 84.2 \text{ t-m}$$

Typical $M_u(t-m)$ of Main Ribs
supported by Beams
Section B



$$M_u^+ = 22.7 \text{ t-m}$$

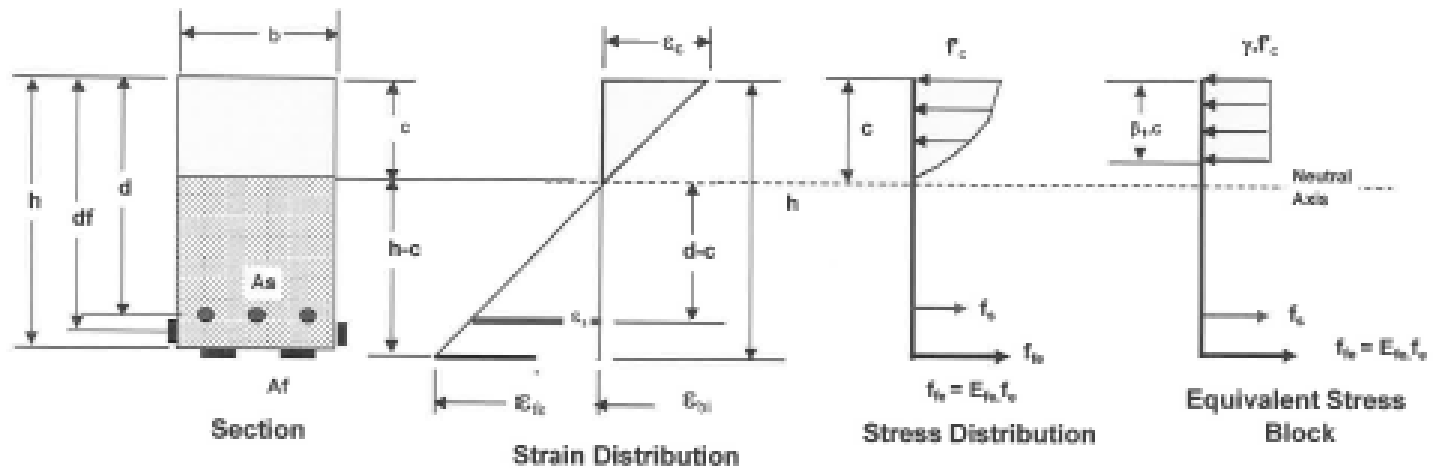
Typical $M_u(t-m)$ of Secondary Ribs
Section C





5.2.4 รายการคำนวณการเสริมกำลังพื้นด้วย CFRP

Design Calculation of External Strengthening FRP
According to ACI 4402r-02



Bm ID: CU33_Main Ribs

Step 1 Input Geometric and Reinforcements

dc	0.15 m cover thickness
b	0.30 m Beam or Slab widths
h	0.90 m Beam or Slab depths
d	0.75 m depth of steel beams

Step 2: Material Data

E_s	$2.04E+08$ iso modulus of steel
f_y	3,000 ksc yielding strength of steel
ϵ_y	0.00147 yield strain
f_c'	240 iso concrete strength, ksc
ϵ_{cu}	0.003 Concrete Strain at Ultimate State
β_1	0.85 β_1 of concrete



5.2.4 รายการคำนวณการเสริมกำลังด้วย CFRP (ต่อ)

ACI_Strength_Ext_FRP_Step

Reinforcement			
layer	no. bar	dia(mm)	As _i (cm ²)
1	8.0	25	39.27
2	0	16	0.00
3			0.00
			As 39.27 cm ²
			ps 1.75%

E _c	233,928 ksc	modulus of Concrete
#_cfpr		
E _f	1,471,050 ksc	Elastic Modulus of FRP
f _{tu}	23,537 ksc	ultimate tensile strength of the FRP mat
ε _{ru}	0.0140	ultimate rupture strain of the FRP reinforcement
Ce	0.95	Environmental Reduction Factor
f _{tu}	22,360 ksc	design ultimate tensile strength of FRP,
ε _{tu}	1.33%	design rupture strain of FRP reinforcement,

FRP-Input

Layer	(m) d _{frp}	No. strip	(mm) b _{frp}	(mm) t _{frp}	(mm ²) A _{bstp}	(mm ²) A _{cfpr}	(mm ² -m) A _{d_{frp}}	Remark
1	0.90	3.0	100	1.20	120	360.0	324.0	Bottom
2	0.90	0	50	1.20	60	0.0	0.0	Lateral Strips
3								

SA _{d_{frp}}	324.00 mm ² -m
A _f	3.60 cm ²
d _f	0.90 m
p _f	0.133%

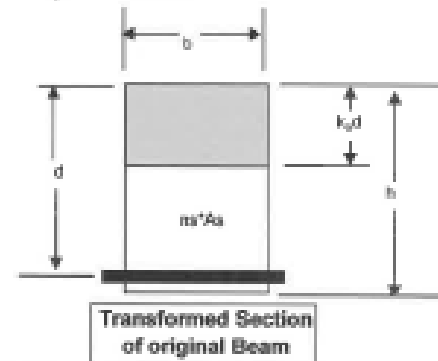
Calculate n_{fr}

Calculate k_{ext}, l_{cr} of original section, p_y = 0

$$k = \sqrt{\left(\rho_s \frac{E_s}{E_c} + \rho_f \frac{E_f}{E_c}\right)^2 + 2\left(\rho_s \frac{E_s}{E_c} + \rho_f \frac{E_f}{E_c} \left(\frac{h}{d}\right)\right)} - \left(\rho_s \frac{E_s}{E_c} + \rho_f \frac{E_f}{E_c}\right)$$

n _s	8.72
n _f	6.29
k _o	0.42 k for original Beam
k _o d	0.32 m
l _{cr}	8.82E-03 m 4 L Crack
l _{cg}	1.05E-02 m 4 L Gross

l_{cr}/l_{cg} 0.84 Ratio of l





5.2.4 รายการคำนวณการเสริมกำลังพื้นด้วย CFRP (ต่อ)

Step 3—Determine the existing state of strain on the soffit

MdL	20.00 k-m Moment just before installation
ϵ_{bi}	0.0005 Existing strain in beam before Apply CFRP

$$\epsilon_{bi} = \frac{M_{DL}(h - kd)}{I_{xx} E_c}$$

Step 4—Determine the bond-dependent coefficient of the FRP system

n	1.00 no of layer of FRP
tf	1.20 mm nominal thickness of one ply of the FRP reinforcement
$nE_f t_f$	173,119 as index for select k_m
$k_{m_le_18}$	0.6505
$k_{m_gt_18}$	0.6515
k_m	0.65 must \leq 0.90 to be ok.

$$k_m = \begin{cases} \frac{1}{60 f_{yv}} \left(1 - \frac{n E_f t_f}{360,000} \right) \leq 0.90 & \text{for } n E_f t_f \leq 180,000 \\ \frac{1}{60 f_{yv}} \left(\frac{90,000}{n E_f t_f} \right) < 0.90 & \text{for } n E_f t_f > 180,000 \end{cases} \quad (9-2) \text{ SI}$$

Step 5—Estimate c, the depth to the neutral axis

fct_d	0.360 factor of c/d	fct_d_calc 0.389
c_{assm}	0.27 m assumed c	

Step 6—Determine the effective level of strain in the FRP reinforcement

Assume failure mode: crushing of concrete

ϵ_{fe}	0.0064 effective level of strain in the FRP
$k_{ff} \beta_{fu}$	0.0087 must larger than above

$$\epsilon_{fe} = 0.003 \left(\frac{h - c}{c} \right) - \epsilon_{bi} \leq k_{ff} \beta_{fu}$$

Note that for the neutral axis depth selected, concrete crushing would be the failure mode because the first expression in this equation governed. If the second (limiting) expression governed, then FRP failure would be in the failure mode.

Step 7—Calculate the strain in the existing reinforcing steel

ϵ_{st}	0.0053 strain in steel, A_s
-----------------	-------------------------------

$$\epsilon_{st} = (\epsilon_{fe} + \epsilon_{bi}) \left(\frac{d - c}{h - c} \right)$$



5.2.4 รายการคำนวณการเสริมกำลังพื้นด้วย CFRP (ต่อ)

Step 8—Calculate the stress level in the reinforcing steel and FRP

$f_{s,calc}$ 10,880 ksc calculation of stress

$$f_s = k_s \rho_s \leq f_y$$

f_s 3,000 ksc stress in steel

f_{fr} 9,464 ksc stress in FRP

$$f_{fr} = E_f \epsilon_{fr}$$

Mode of failure: Concrete Crushing

Step 9—Calculate the internal force resultants and check equilibrium

γ_c 0.85 concrete crushing controls failure, γ can be taken as 0.85

C_{calc} 0.29 m calculated C compared with C_{max}

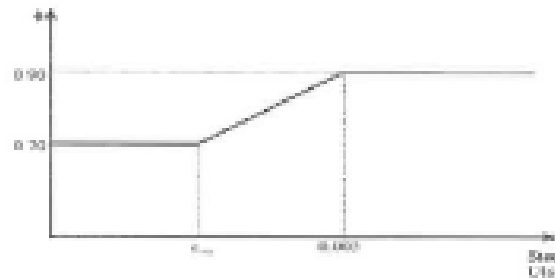
$$c = \frac{A_s f_s + A_f f_{fr}}{\gamma f'_c B_1 d}$$

Step 10—Adjust c until force equilibrium is satisfied

$f_{ct_d_calc}$ 0.39 C_{max}/d

Step 11—Calculate design flexural strength of the section

Calc ϕ factor as depending on ϵ_{st}



$$\phi = \begin{cases} 0.90 & \text{for } \epsilon_1 \geq 0.005 \\ 0.70 + \frac{0.20(\epsilon_1 - \epsilon_{1Y})}{0.005 - \epsilon_{1Y}} & \text{for } \epsilon_{1Y} < \epsilon_1 < 0.005 \\ 0.70 & \text{for } \epsilon_1 \leq \epsilon_{1Y} \end{cases} \quad (\phi-5)$$

Fig. 3.1—Graphical representation of the strength-reduction factor as a function of the ductility



5.2.4 รายการคำนวณการเสริมกำลังด้วย CFRP (ต่อ)

Free Factor Table

Strain	free remark
0.0000	0.70
0.0015	0.70 cy
0.0020	0.73
0.0025	0.76
0.0030	0.79
0.0035	0.81
0.0040	0.84
0.0045	0.87
0.0050	0.90

ϕ_{fr}	0.90 free factor used
ψ	0.85 additional Reduction for FRP

Mn_bm	73.74 t-m Mn for As
Mn_frp	22.47 t-m Mn for FRP
Mu_bm	66.37 t-m Mu for As
Mu_frp	20.22 t-m Mu for FRP
Mu	86.59 t-m Mom of Strengthening Beams

$$\phi M_n = \phi \left[A_s f_s \left(d - \frac{\beta_1 c'}{2} \right) + \psi A_{sfrp} f_{fr} \left(h - \frac{\beta_1 c'}{2} \right) \right]$$

Step 12—Check service stresses in the reinforcing steel and the FRP

Calculate the elastic depth to the cracked neutral axis by adding the first moment of the areas of the transformed section. This can be simplified for a rectangular beam without compression reinforcement as follows:



5.2.4 รายการคำนวณการเสริมกำลังพื้นด้วย CFRP (ต่อ)

Calculate k_{eff} , I_{eff} of original section

$$k = \sqrt{\left(\rho_s \frac{E_s}{E_c} + \rho_f \frac{E_f}{E_c}\right)^2 + 2\left(\rho_s \frac{E_s}{E_c} + \rho_f \frac{E_f}{E_c} \left(\frac{h}{d}\right)\right) \left(\rho_s \frac{E_s}{E_c} + \rho_f \frac{E_f}{E_c}\right)}$$

k_e 0.43 is for Strengthened Beam
 kd_f 0.32 m
Ms 5.70 t-m Service moment within the elastic^{***}

upper 7.085E+13 kg2
 Lower_1 22,077,063 kg-m2
 Lower_2 2,429,783 kg-m2

f_{su} 288 ksc stress in A_s at working Stage
 must less than 2,400 ksc

f_{su} -553 ksc stress in A_f at working Stage
 must less than 12,298 ksc

Conclusion:

Strengthening with CFRP ok, since

M_u required = 85.00 t-m
 M_u frp Provide = 20.22 t-m M_u for FRP
 M_u Provided = 86.59 t-m **Mom of Strengthening Beams**

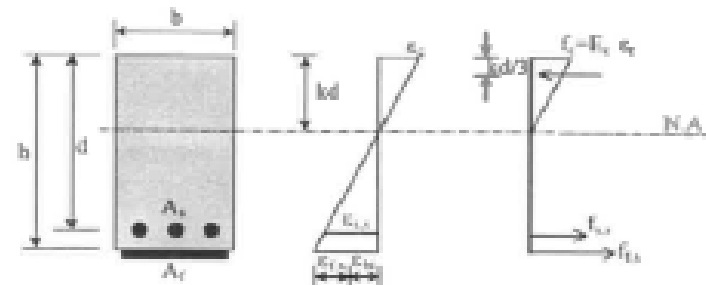


Fig. 9.3—Elastic strain and stress distribution.

$$f_{s,s} = \frac{\left[M_s + \epsilon_{su} A_s E_s \left(h - \frac{kd}{3}\right)\right] (d - kd) E_s}{A_s E_s \left(d - \frac{kd}{2}\right) (d - kd) + A_f E_f \left(h - \frac{kd}{2}\right) (h - kd)} \quad (9-12)$$

$$f_{f,s} = f_{s,s} \left(\frac{E_f}{E_c}\right) \frac{h - kd}{d - kd} - \epsilon_{su} E_f \quad (9-13)$$

Table 9.1—Sustained plus cyclic service load stress limits in FRP reinforcement

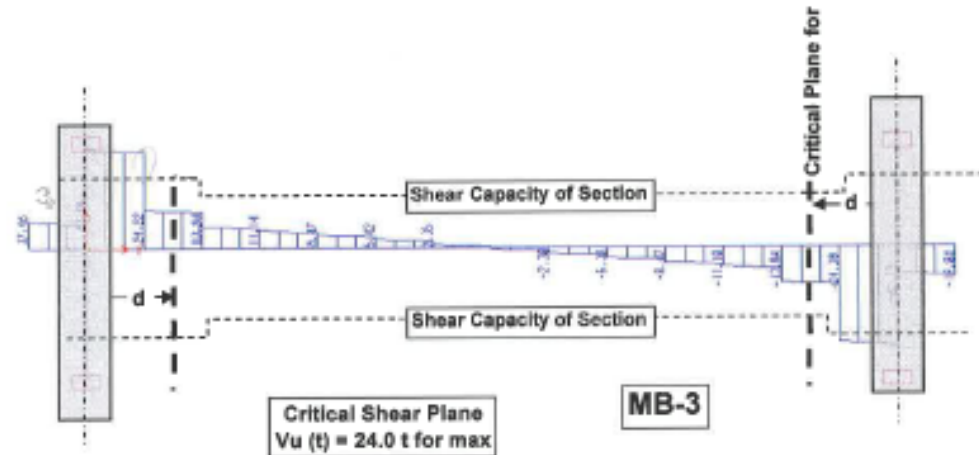
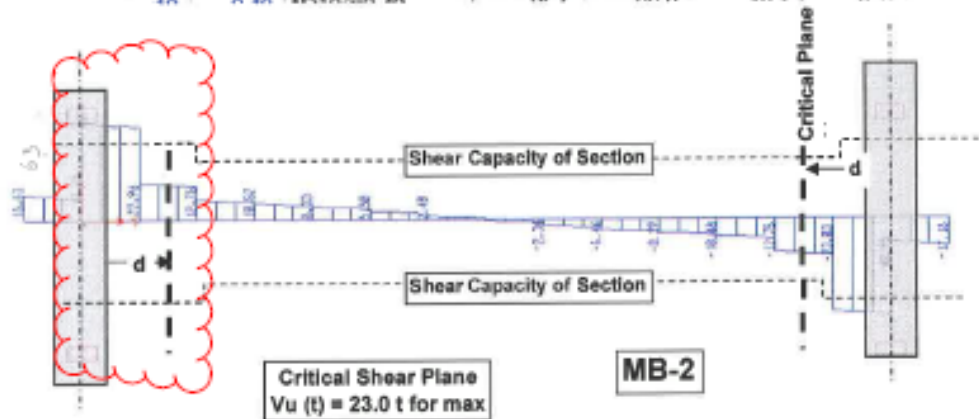
Stress type	Fiber type		
	Glass FRP	Aramid FRP	Carbon FRP
Sustained plus cyclic stress limit	0.20 f_{cu}	0.30 f_{cu}	0.55 f_{cu}

Calc:



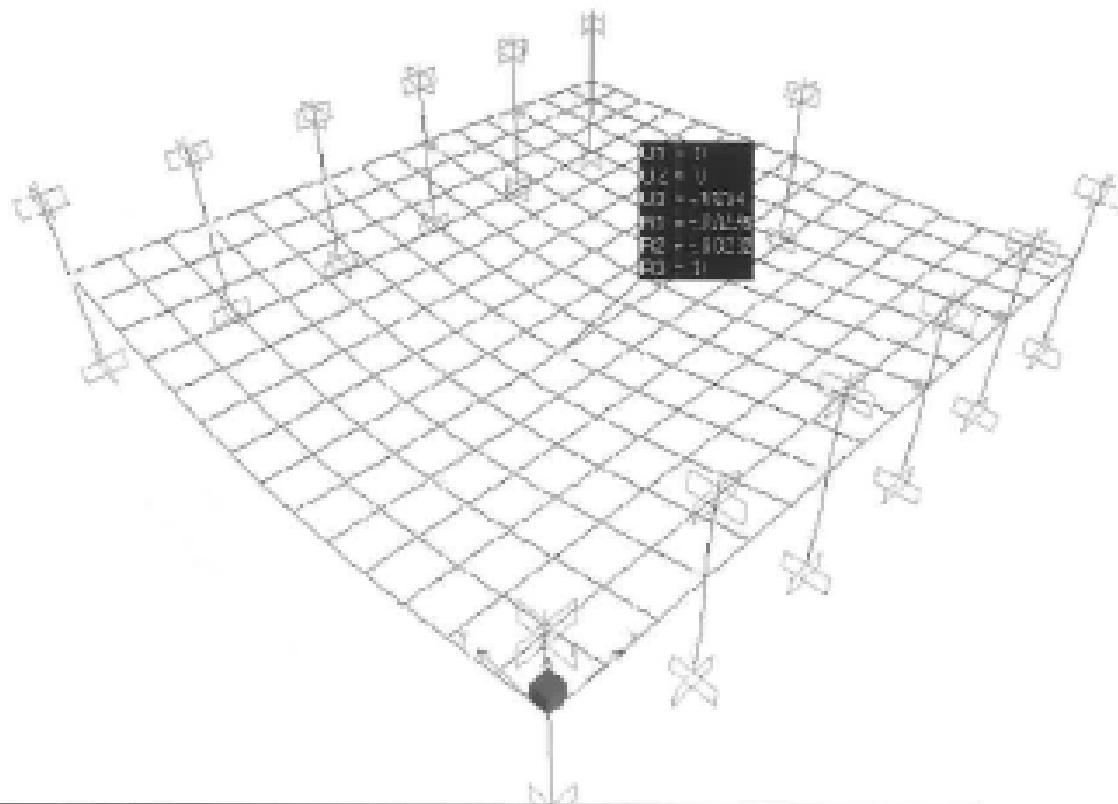
5.2.5 ตรวจสอบกำลังแรงเฉือน

2 stirrpts		V_u	Shear capacity, V_u , in t of a beam sections			
			f_{y_inp}	3,000 ksc for bar dia. > 9 mm		
diav (mm)	spo (m)	hw(m)	← $b_w =$ 0.25 →			
6	0.075	1D6@0.08	0.90	0.80	0.70	0.60
6	0.050	1D6@0.05	26.3	23.0	19.7	16.4
6	0.050	1D6@0.05	24.0	26.4	24.3	20.3





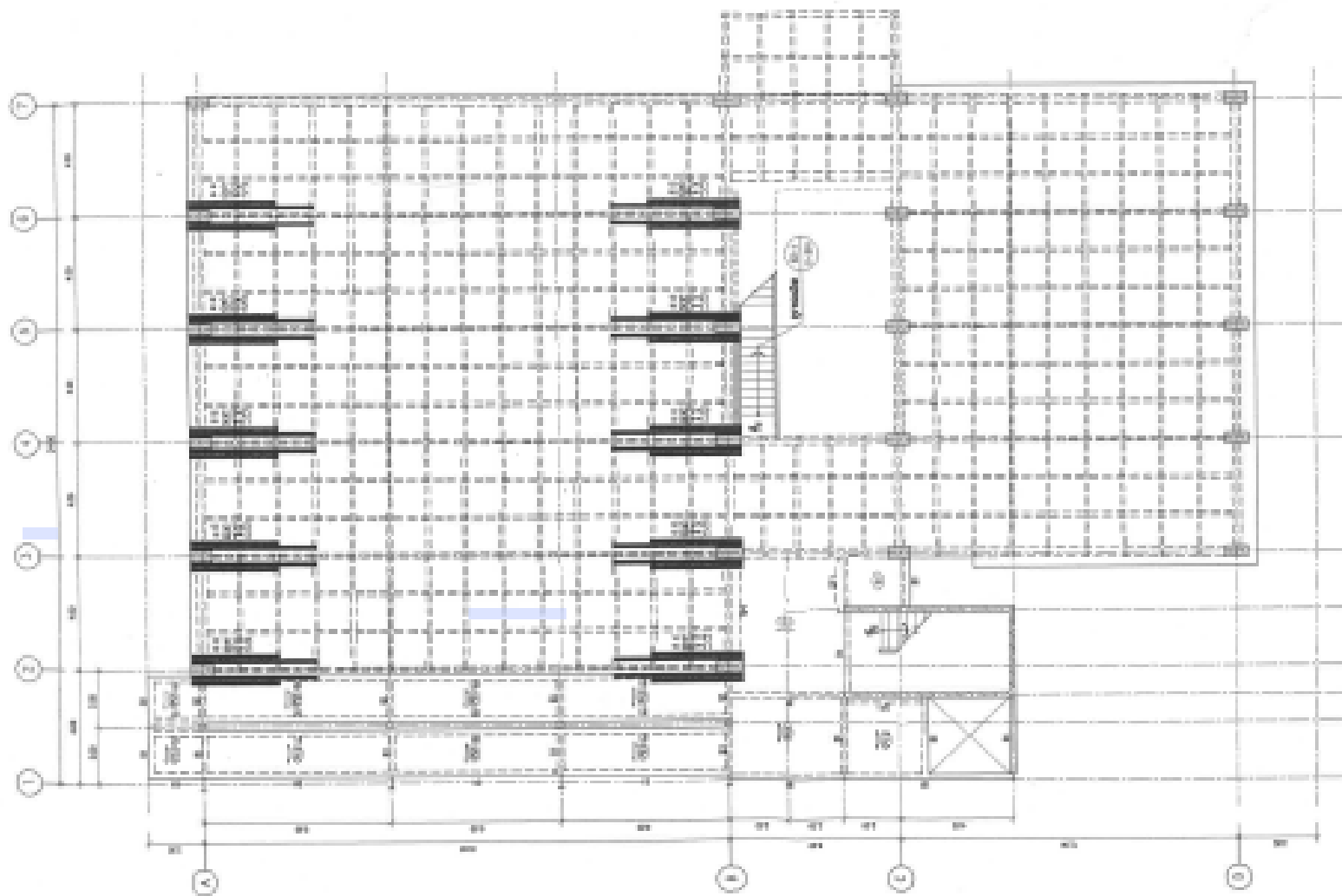
5.2.6 ตรวจสอบค่าการโก่งตัว



Plastic Hinge Formation and Deflection in m at Ultimate Load Level



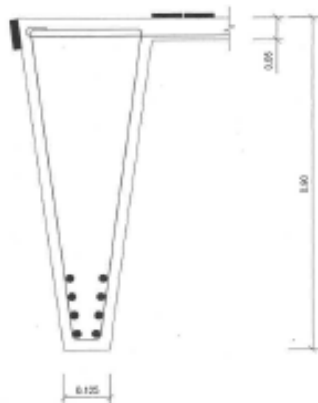
5.2.7 แบบรายละเอียดการเสริม CFRP บนพื้นบริเวณหัวเสา



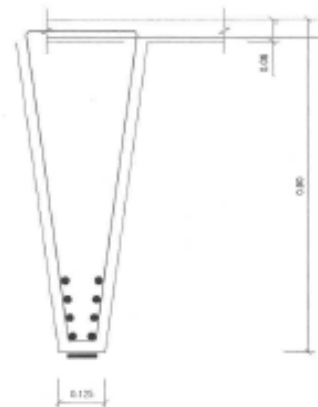
แบบร่างสถาปัตย์
ชื่อโครงการ : ...
ชื่อผู้จัดทำ : ...
ชื่ออาจารย์ : ...
ชื่อสถาบัน : ...



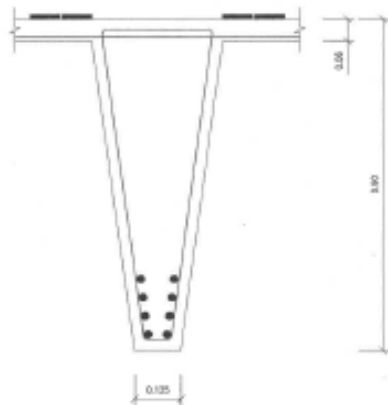
5.2.9 แบบรายละเอียดการเสริม CFRP บนพื้น



การเสริม CFRP บนหลังพื้น(ตัวจริง)



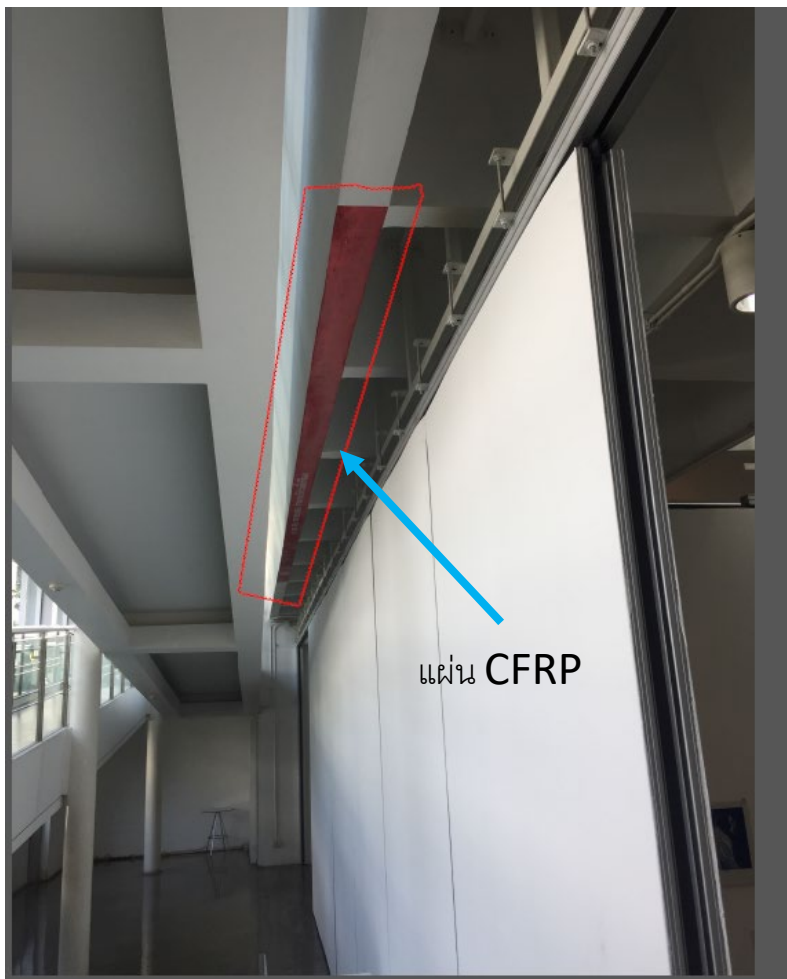
การเสริม CFRP ใต้ท้องพื้น



การเสริม CFRP บนหลังพื้น



6. งานติดตั้ง CFRP บนพื้น



เสริม CFRP ใต้พื้น

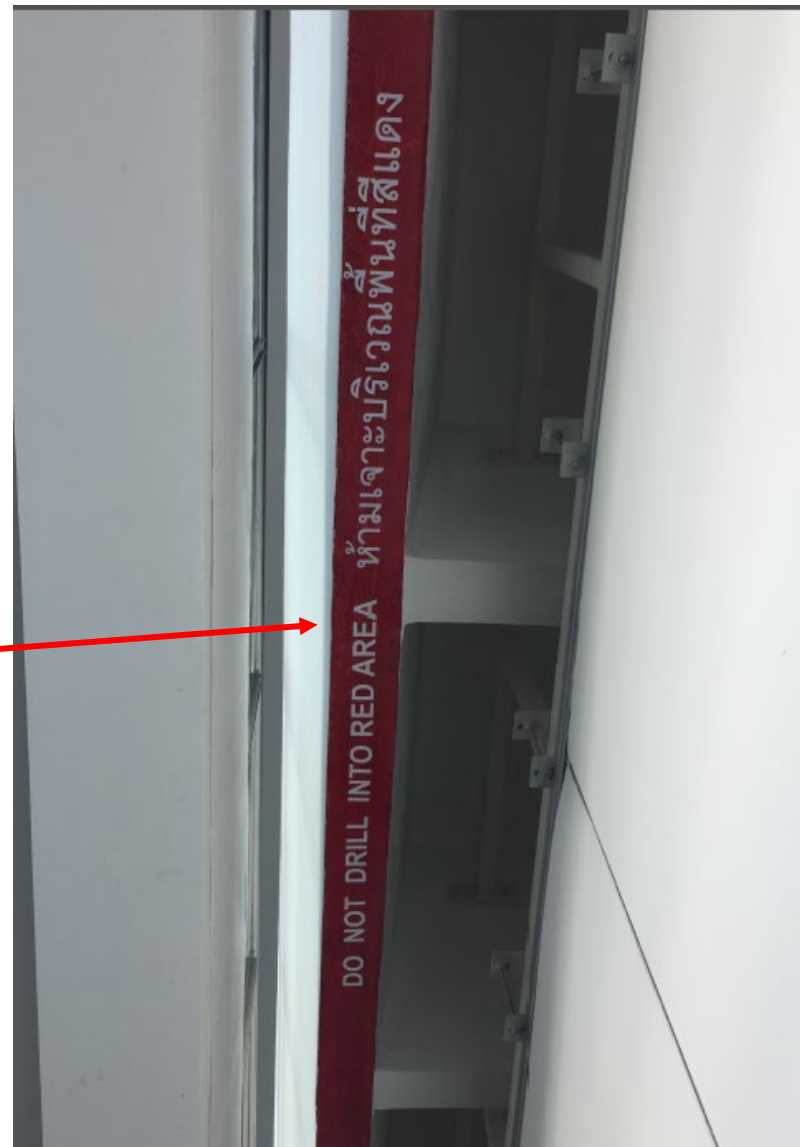


เสริม CFRP หลังพื้น



6.1 ระบุตำแหน่งที่เสริม CFRP

- ระบุตำแหน่งที่เสริม CFRP พร้อมคำเตือนห้ามทำการเจาะพื้นบริเวณนี้





7. ความโดดเด่น

1. นำเสนอวิธีการออกแบบ และการประสานงานก่อสร้างโครงการ
ปรับปรุงอาคารคอนกรีตเสริมเหล็ก 4 ชั้น
2. นำเสนอวิธีการวิเคราะห์ และการออกแบบการเสริมกำลังพื้น
คอนกรีตเสริมเหล็กด้วย CFRP อย่างเป็นระบบ
3. งานปรับปรุงอาคารแล้วเสร็จ และใช้งานได้โดยสมบูรณ์ดีจนถึง
ปัจจุบัน



8. ผลสำเร็จของโครงการ

- โครงการได้ก่อสร้างแล้วเสร็จ และใช้งานได้โดยสมบูรณ์ตั้งจนถึงปัจจุบัน





จบการนำเสนอตัวอย่างผลงานด้าน

งานออกแบบและคำนวณ

ขอบคุณครับ